

ANÁLISES FÍSICO-QUÍMICAS DE BIOFILMES DE SULFATO DE CONDROITINA MODIFICADO

Élcio J. Bunhak^{a,*}, Elisabete S. Mendes^b, Nehemias C. Pereira^b, Edgardo A. G. Pineda^c, Ana A. W. Hechenleitner^c e Osvaldo A. Cavalcanti^d

^aCurso de Farmácia, Universidade Estadual do Oeste do Paraná, Rua Universitária, 2069, 85814-110 Cascavel, PR – Brasil

^bDepartamento de Engenharia Química, Universidade Estadual de Maringá, 87020-900 Maringá, PR – Brasil

^cDepartamento de Química, Universidade Estadual de Maringá, 87020-900 Maringá – PR, Brasil

^dDepartamento de Farmacologia e Terapêutica, Universidade Estadual de Maringá, 87020-900 Maringá, PR – Brasil

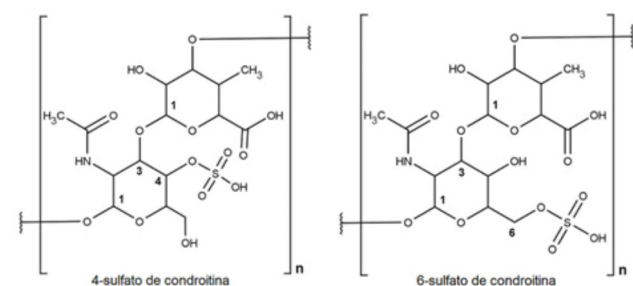


Figura 1S. Representação esquemática das unidades 4-sulfato de condroitina e 6-sulfato de condroitina. O software MarvinSketch 14.9.22.0, 2014, ChemAxon (<http://www.chemaxon.com>) foi usado para desenhar as estruturas químicas

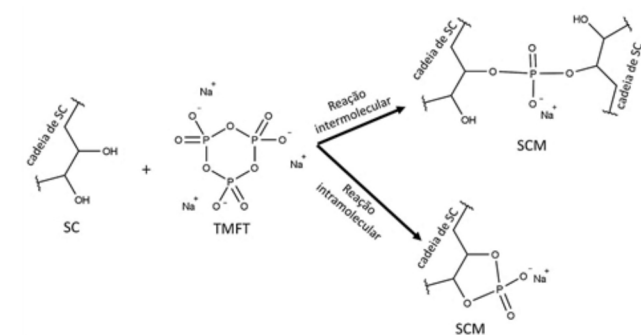


Figura 2S. Representação esquemática de reação das hidroxilas do SC com TMFT. Reticulação intramolecular ocorre quando o TMFT reage com hidroxilas presente em uma mesma cadeia de polímero. Reticulação intermolecular ocorre quando o TMFT reage com hidroxilas de diferentes cadeias. O software MarvinSketch 14.9.22.0, 2014, ChemAxon (<http://www.chemaxon.com>) foi usado para desenhar a representação esquemática de reação

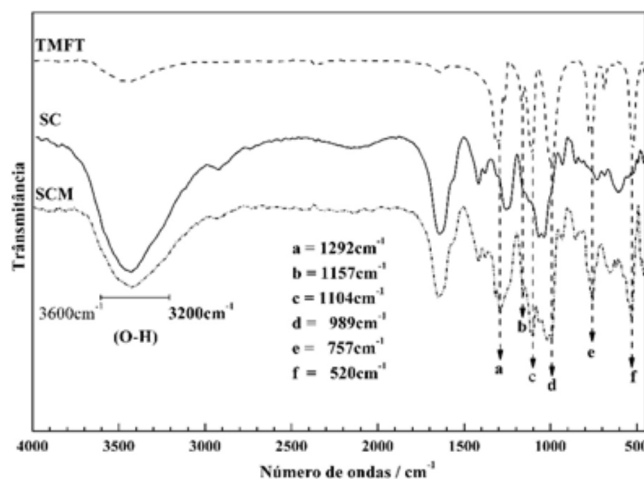


Figura 3S. Espectros de transmitância no infravermelho do TMFT, SC e SCM

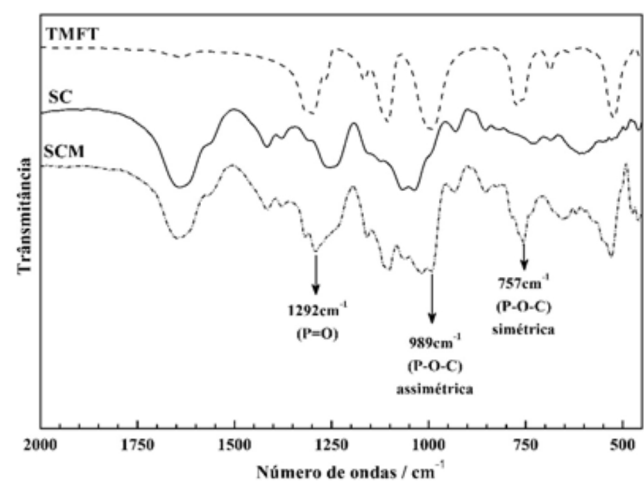


Figura 4S. Espectros de transmitância no infravermelho do TMFT, SC e SCM de 2000 a 450 cm^{-1}

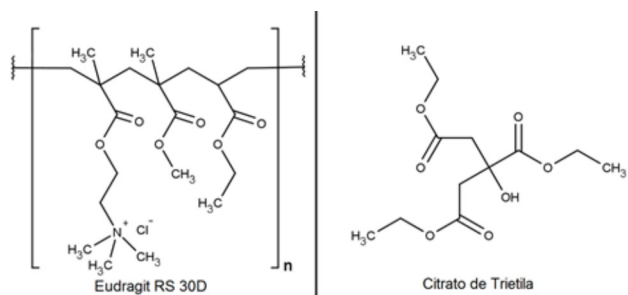


Figura 5S. Representação esquemática da estrutura do Eudragit® RS 30D e Citrato de Trietila. O software MarvinSketch 14.9.22.0, 2014, ChemAxon (<http://www.chemaxon.com>) foi usado para desenhar as estruturas químicas

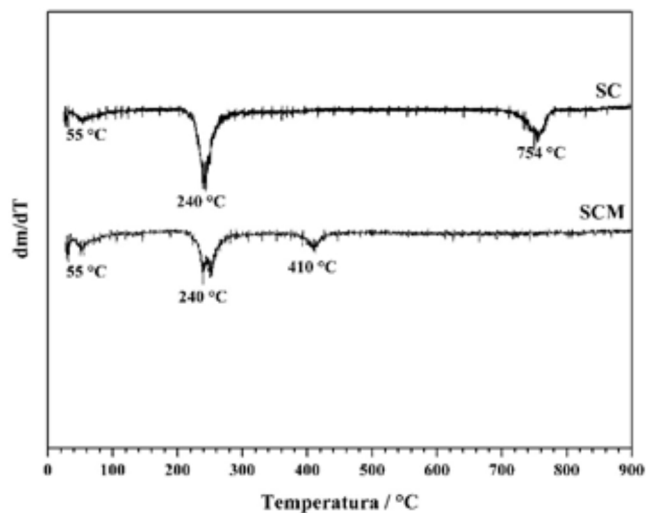


Figura 7S. Curvas DTG do SC e do SCM. Análises feitas sob atmosfera de $N_{2(g)}$ com razão de aquecimento de $10\text{ }^{\circ}\text{C min}^{-1}$

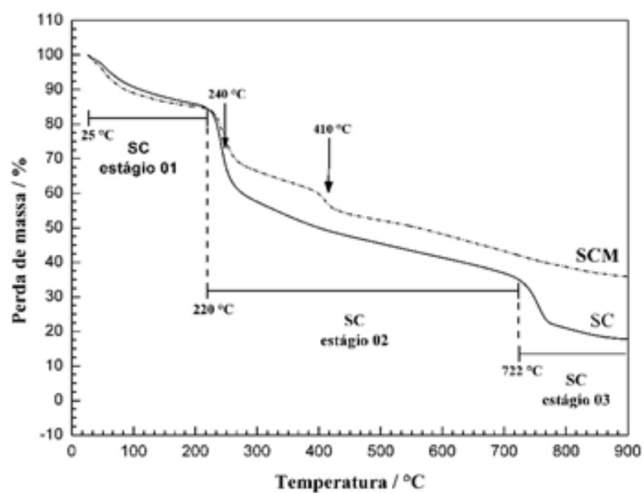


Figura 6S. Curvas TG do SC e do SCM. Análises feitas sob atmosfera de $N_{2(g)}$ com razão de aquecimento de $10\text{ }^{\circ}\text{C min}^{-1}$

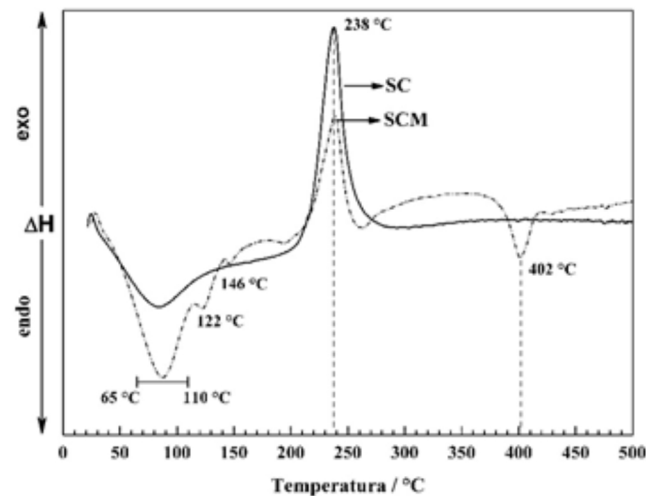


Figura 8S. Curvas DSC do SC e do SCM. Análises feitas sob atmosfera de $N_{2(g)}$ com razão de aquecimento de $10\text{ }^{\circ}\text{C min}^{-1}$